

مهندسی محدوده طول موجی عبور در بلور نوری $[Si/SiO_2]^6/Si_3N_4$ به وسیله لایه نقص TiO_2

مرادی، مهرداد؛ سعیدی، فریده سادات

پژوهشکده علوم و فناوری نانو، دانشگاه کاشان، کاشان

چکیده

در این مقاله اثر اضافه کردن لایه TiO_2 به عنوان یک نقص در بلور نوری یک بعدی مشکل از جفت لایه‌های $[Si/SiO_2]$ بر روی زیرلایه Si_3N_4 مورد بررسی قرار گرفته است. محاسبات نظری بر پایه روش ماتریس‌های انتقال 2×2 با استفاده از نرم افزار *MATLAB* انجام شده است و تلاش شده تا طیف طول موج عبوری ساختار مهندسی شود. نقص به صورت تغییر در ضریب شکست در نظر گرفته شد و مشاهده شد که با ایجاد نقص در نانوساختار می‌توان شکافی برای عبور در نوار ممنوعه ایجاد کرد. در ادامه با تغییر پارامترهای مانند طول موج کاری، ضخامت لایه‌ها، ضخامت لایه نقص و تغییر چیدمان لایه‌ها، به جایگایی شکاف عبوری و تغییر ارتفاع آن پرداخته شد. نتایج نشان داد با تغییر پارامترهای ذکر شده، می‌توانیم به نحوه دلخواه بازه عبور و مقادیر آن را مهندسی کنیم.

Engineering the transmission region in $[Si/SiO_2]^6/Si_3N_4$ photonic crystal by TiO_2 defect layer

Moradi, Mehrdad; Saeedi, Faride Saadat

Institute of Nanoscience and Nanotechnology, University of Kashan, Kashan, Iran

Abstract

*In this paper, the effect of adding a thin layer of TiO_2 as defects in a one-dimensional photonic crystal consists of $[Si/SiO_2]$ stack on the Si_3N_4 substrate were investigated. Theoretical calculations based on 2×2 transfer matrix method were carried out using *MATLAB* software and trying to engineer the transmission wavelength spectra. The defect was considered as a variation in the refractive index and observed that presence of a defect in the nanostructure can create a gap for the transmission in the forbidden band. In addition, the height and position of the gap can be shifted by changes in the parameters such as working wavelength, thickness of layers, defect layer thickness and changing the layers order. The results show that by changing some parameters, it is possible to arbitrarily engineer the transmission spectrum.*

PACS No: 42, 68

بلور نوری تکرار می‌شود. بلور نوری به زبان ساده به ساختاری که ضریب شکست اپنیکی آن به طور متناوب تکرار می‌شود، اطلاق می‌شود. تناوب در ضریب شکست‌ها باعث به وجود آمدن نوار ممنوعه‌ای می‌شود که مانع برای انتشار فوتون در بلور نوری است که این امر منجر به کنترل انتشار نور در یک بسامد مشخص می‌شود. همچنین با ایجاد نقص در بلور نوری می‌توان تناوب و نوار ممنوعه موجود در بلور را شکست و شکافی را در نوار ممنوعه برای عبور نور ایجاد

مقدمه

در نیمرسانانهای الکترونیکی آزاد وظیفه هدایت الکتریکی و اتم‌های سازنده بلور نقش پرآکنده‌ساز را برای امواج الکترونی بر عهده دارند. همچنین در یک نیمرسانا بواسطه پراش برآگ گونه از اتم‌های شبکه، بلور نوارهای ممنوعه‌ای را برای انتشار الکترون در نظر می‌گیرد. عملکرد در یک بلور نوری، مشابه یک نیمرسانا است و پدیده‌هایی که برای الکترون درون یک نیمرسانا رخ می‌دهد به صورت مشابه برای فوتون در یک

انتشار و انعکاس لایه) به یکدیگر مربوط می‌شود. بدین منظور به هر لایه یک ماتریس نسبت می‌دهند و بعد از بدست آوردن این ماتریس، در هر جای ساختار که لایه مذکور قرار گرفته شده باشد این ماتریس ایفای نقش می‌کند. با داشتن ماتریس انتقال هر لایه می‌توان دامنه و فاز امواج الکترومغناطیسی را بعد از عبور از لایه مفروض حساب کرد و بدینه است که با داشتن دامنه و فاز موج الکترومغناطیسی که از چندین لایه متفاوت عبور کرده است محاسبه ضریب عبور و بازتاب کار ساده‌ای خواهد بود. اساس روش ماتریس‌های انتقال براساس اصولی که برای نوشتمن شرایط مرزی در معادلات ماسکول به کار می‌رود، بنا شده است. به منظور محاسبه ضرایب بازتاب و شکست از ماتریس انتقال 2×2 استفاده شده است. در قطبش S فرود میدان الکتریکی، موج فرودی موازی با صفحه تابش بوده و موازی هم برمی‌گردد. ولی قطبش P میدان مغناطیسی موج موازی با سطح می‌باشد، در نتیجه ماتریس انتقال مرزی برای این دو مد دارای مؤلفه‌های جداگانه است. در مورد بلور نوری، روابط به صورت زیر نوشته می‌شوند:



شکل ۱: طرحواره‌ایی از یک بلور نوری.

ماتریس‌های انتقال و انتشار برای تابش عمود به بلور و لایه آن ساختار به ترتیب به صورت ماتریس انتقال مرزی از یک لایه به لایه مجاور (A) و ماتریس انتشار درون یک لایه (D) است:

(۱)

(۲)

که در آن L_i ضخامت و k_i عدد موج لایه آن در بلور می‌باشد. در مورد بلورهای نوری که در آن ساختار به طور

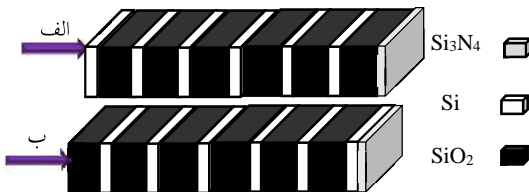
کرد. از این قابلیت‌ها می‌توان برای طراحی موجبرها، آینه‌های چند وجهی و فیلترهای نوری استفاده کرد [۳-۴]. فیلترهای نوری می‌توانند یک طول موج خاص را از یک موجبر گذر بدهنند و نقش مهمی را در انتخاب یک طول موج و حذف بقیه طول موج‌ها بر عهده دارند. یکی از مهمترین انواع فیلترهای نوری پوشش‌های محافظ در برابر نور لیزر هستند.

در این مقاله بلور نوری متشکل از شش جفت لایه $[Si/SiO_2]$ بر روی زیرلایه Si_3N_4 طراحی شده است که در آن سیلیکون (Si) به عنوان ماده با ضریب شکست بالا و دی‌اکسید سیلیکون (SiO_2) به عنوان ماده با ضریب شکست پایین انتخاب شد. در این ساختار ثابت دی‌الکتریک‌ها به اندازه کافی متفاوت هستند تا بتوانند تداخل‌های سازنده و ویرانگر لازم را ایجاد کنند. همچنین زیرلایه و لایه‌ها به گونه‌ای انتخاب جذب ممکن را داشته باشند. تعداد لایه‌ها به گونه‌ایی انتخاب شد که در یک بازه طول موجی وسیع؛ سهم زیادی از نور از بلور عبور نکند و در نتیجه فیلتر عبور پایین خواهد بود. سپس به بررسی عوامل موثر در بهینه‌سازی بلور نوری، مانند ایجاد نقص به وسیله اضافه کردن ماده تیتانیوم دی‌اکسید (TiO_2)، تغییر طول موج کاری، میزان ضخامت لایه نقص و چیدمان لایه‌ها پرداخته شد.

مبانی نظری

از دیدگاه فیزیکی، اصل اساسی در ایجاد نوار ممنوعه در یک ساختار متناوب، وجود پدیده‌ی پراش و تداخل در میان امواج فرودی بر ساختار و منعکس شده از آن می‌باشد [۴]. از این رو ویژگی‌های نوری چنین ساختارهایی تا حد زیادی به ویژگی‌های نوری لایه‌های تشکیل‌دهنده آن بستگی دارد [۵]. یکی از روش‌های قدرتمند در بررسی چنین حالت‌هایی روش ماتریس انتقال است [۶,۷]. در این روش، مؤلفه‌های میدان‌های الکتریکی و مغناطیسی در نواحی مختلف بلور نوری از طریق خصوصیات لایه‌ی دی‌الکتریک مورد بررسی، (مانند ضرایب

نخست ضخامت تمام لایه‌ها به صورت $L = \lambda_W/(4n)$ تعریف شده‌اند که در آن مبدأ همان طول موج کاری و 500 نانومتر است. این برابر با $M_{11}^{-1} A_0^{-1} A_1^{-1} A_2^{-1} \dots A_{N-1}^{-1} A_N^{-1}$ ضریب شکست لایه‌های As , TiO_2 و Si که در این بازه طول موجی، قسمت موهومی نیز دارند تنها قسمت حقیقی ضریب شکست آورده شده است. بدین ترتیب ضخامت لایه سیلیکون نیترید $62/5$ نانومتر، دی‌اکسید (SiO_2) $\frac{M_{11}}{M_{21}}$ $\frac{M_{12}}{M_{22}}$ $\frac{M_{21}}{M_{22}}$ $\frac{M_{22}}{M_{11}}$ سیلیکون (Si) $\frac{M_{11}}{M_{12}}$ $\frac{M_{12}}{M_{21}}$ $\frac{M_{21}}{M_{22}}$ $\frac{M_{22}}{M_{11}}$ نانومتر و لایه تیتانیوم D_{Ti} $\frac{M_{11}}{M_{12}}$ $\frac{M_{12}}{M_{21}}$ $\frac{M_{21}}{M_{22}}$ $\frac{M_{22}}{M_{11}}$ نانومتر در نظر گرفته شده است. ابتدا شش جفت لایه سیلیکون و دی‌اکسید سیلیکون بر روی زیرلایه سیلیکون نیترید طراحی می‌شود و با نماد $[Si_3N_4/Si/SiO_2]^6$ نشان داده می‌شود که لایه‌های داخل برآکت به ترتیب لایه‌های موجود در ساختار را نشان می‌دهد و عدد بیرون از برآکت نشانه M_{11} M_{21} M_{12} M_{22} تعداد تکرار جفت‌لایه‌ها است. در گام اول برای یافتن T $\frac{M_{11}}{M_{12}}$ $\frac{M_{21}}{M_{22}}$ $\frac{M_{12}}{M_{21}}$ $\frac{M_{22}}{M_{11}}$ نجوه چیده شدن جفت لایه‌ها، $T = \frac{n_0 \cos \theta_s}{n_s \cos \theta_s}$ $n_s \cos \theta_s$ $n_0 \cos \theta_s$ ممکن است که طرحواره آن‌ها در شکل ۲ نشان داده شده است. طیف عبور دو ساختار در شکل ۳ نمایش داده شده است.



متناوب تکرار می‌شود، رابطه زیر برای ماتریس انتقال کل ساختار استفاده می‌شود:

(۳)

که A_0 مربوط به خلا یا به اصطلاح لایه اول است و N تعداد تکرار جفت‌لایه و S لایه اخر در بلور که همان زیرلایه است. بنابراین در نهایت بدست می‌آید:

(۴)

که با توجه به شکل ۱ مقادیر a و b دامنه‌های موج‌های فرودی و بازتابی از لایه اول، c و d دامنه‌های موج‌های عبوری و بازتابی از لایه اخر هستند. با ادامه محاسبات ضرایب عبور و بازتاب و به دنبال آن مقادیر عبور و بازتاب به صورت زیر بدست می‌آیند:

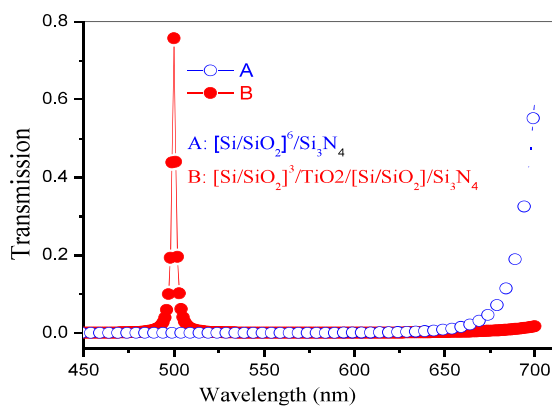
(۵)

(۶)

(۷)

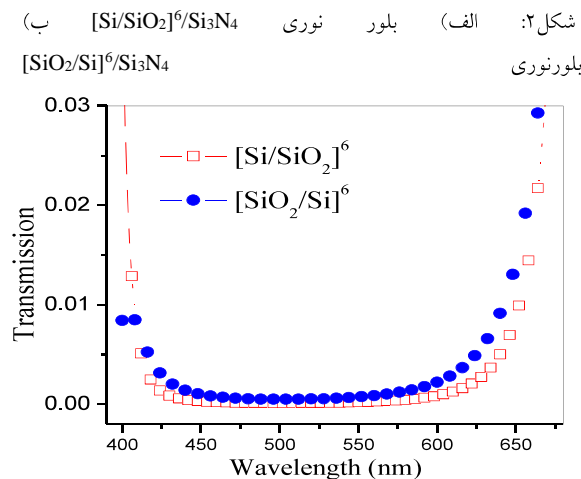
محاسبات

در این مقاله بلور نوری به صورتی طراحی شده که ماده (Si_3N_4) در آن به عنوان زیرلایه استفاده شده است. سیلیکون (Si) به عنوان ماده با ضریب شکست بالا و دی‌اکسید سیلیکون (SiO_2) به عنوان ماده با ضریب شکست پایین و لایه نقص (TiO_2) انتخاب شدند. طول موج کاری (λ_W) که برای ضخامت اولیه به آن نیاز داریم مقدار 500 نانومتر در محدوده میانه نور مرئی انتخاب شده است. در محاسبات برای رسم نمودار مقدار عبور از بلور، طول موج 350 تا 850 نانومتر جاروب می‌شود و ضریب شکست لایه‌ها تابعی از همین طول موج است در نتیجه با تغییر طول موج، ضریب شکست لایه‌ها نیز متناسب با طول موج تغییر می‌کند این ضریب شکست از منابع علمی [۸,۹] استخراج شده است. عدد موج در محاسبات به صورت $k_i = 2\pi n/\lambda$ در نظر گرفته شده است، λ طول موجی است که بلور را جاروب می‌کند. در گام

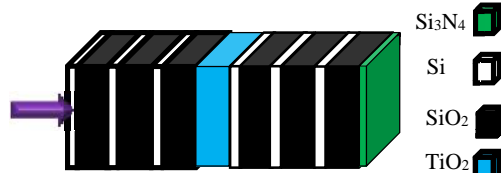


شکل ۵: طیف‌های عبوری ساختارهای بدون نقص: $[Si/SiO_2]^6/Si_3N_4$ و با نقص $[Si/SiO_2]^3/TiO_2/[Si/SiO_2]^3/Si_3N_4$.

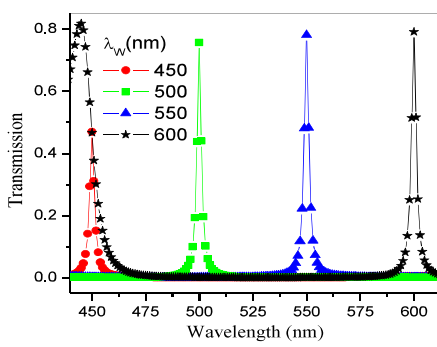
مشاهده می‌شود در قسمتی که عبور صفر بوده است با ایجاد نقص به دلیل ایجاد بی‌نظمی، امکان عبور بوجود می‌آید. در این حالت در طول موج ۵۰۰ نانومتر تا حدود ۷۵ درصد عبور ممکن است و شکافی برای عبور طول موج‌های حوالی ۵۰۰ نانومتر در داخل نوار ممنوعه ایجاد شده است. برای اطمینان از انتخاب بهترین چیدمان مجدداً در شرایطی که لایه نقص وجود دارد ترتیب لایه‌ها جابجا می‌شود، با توجه به شکل ۶ مشاهده می‌شود که با جابجایی لایه‌ها مقدار عبور از شکاف به ۶۸ درصد کاهش می‌یابد، در نتیجه از بهینه بودن ترتیب لایه‌ها اطمینان حاصل شد. در این شکل برای نمایش بهتر، بازه قبل از ۴۷۰ و ۵۳۰ نانومتر که عبور صفر داشتند نمایش داده نشده است.



شکل ۳: طیف ساختارهای $[Si/SiO_2]^6/Si_3N_4$ و $[Si/SiO_2]^6/Si_3N_4$ مشاهده می‌شود که طیف هر دو ساختار $[Si/SiO_2]^6/Si_3N_4$ و $[SiO_2/Si]^6/Si_3N_4$ بسیار نزدیک به یکدیگر است که با توجه به شکل ۲ می‌توان علت آن را اینگونه بیان کرد که دو ساختار به علت تناوبی بودن فقط در لایه اول و اخر متفاوت هستند بنابراین انتظار می‌رفت که طیف عبوری آن‌ها نیز مشابه یکدیگر باشد. بنابراین جفت‌لایه $[Si/SiO_2]$ به طور دلخواه برای ادامه کار انتخاب می‌شود. در گام دوم سه جفت‌لایه $[Si/SiO_2]$ در نظر گرفته می‌شود و سپس یک لایه TiO_2 به عنوان نقص وارد می‌شود و در ادامه مجدداً سه جفت‌لایه $[Si/SiO_2]$ قرار می‌گیرند، طرح‌واره‌ایی از ساختار در شکل ۴ مشاهده می‌شود. مذکور می‌شویم که Si_3N_4 همچنان نقش زیر‌لایه را بازی می‌کند.

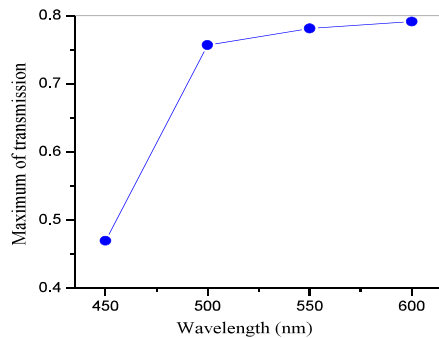


شکل ۴: طرح‌واره‌ایی از بلور نوری $[Si/SiO_2]^3/TiO_2/[Si/SiO_2]^3/Si_3N_4$ در شکل ۵ طیف عبور برای حالتی که بلور فقط از شش جفت‌لایه $[Si/SiO_2]^6/Si_3N_4$ تشکیل شده است با حالتی که یک لایه TiO_2 به عنوان نقص اضافه شده است، مقایسه شده است.



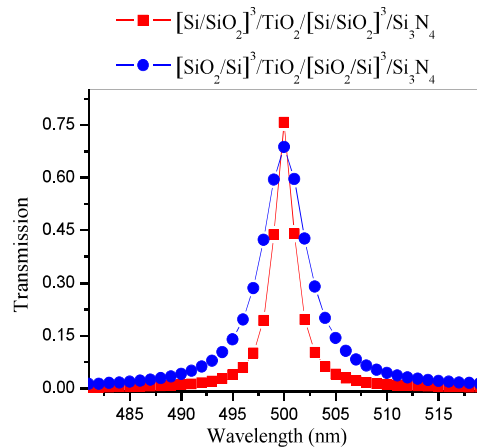
شکل ۷: طیف عبور پلور نوری در $[Si/SiO_2]^3/TiO_2/[Si/SiO_2]^3/Si_3N_4$ در طول موج های کاری $450, 500, 550$ و 600 نانومتر.

تغییر طول موج کاری علاوه بر جابجایی مکان بیشینه عبوری، شدت نور عبوری را نیز تغییر می دهد، به منظور کنترل میزان شدت نور عبوری رابطه ارتفاع قله و طول موج در نمودار شکل ۸ بررسی شد. همانگونه که مشاهده می شود در این حالت با افزایش طول موج کاری منتخب مقدار نور عبوری به صورت نمایی افزایش می یابد.



شکل ۸: بیشینه عبور (ارتفاع قله ها) بر حسب طول موج کاری برای ساختار $[Si/SiO_2]^3/TiO_2/[Si/SiO_2]^3/Si_3N_4$

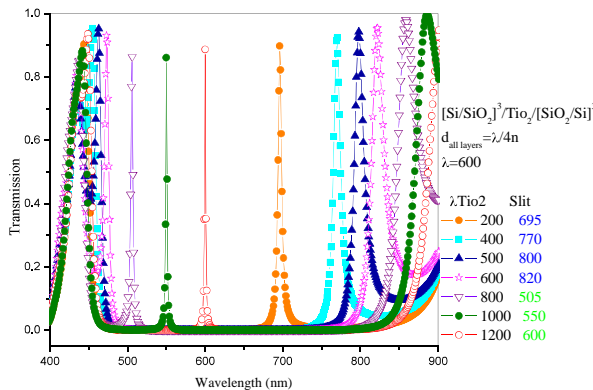
در محاسبات به این نتیجه رسیدیم که برای جابجایی محل شکاف می توان فقط ضخامت لایه نقص را تغییر داد که بدینه است که اگر بتوان آن را مهندسی کرد از نظر صرفه جویی در وقت و هزینه بسیار کارآمد خواهد بود بدین منظور با تغییر ضخامت لایه نقص با استفاده از رابطه $L = \lambda_w / 4n$ و بکارگیری طول موج های کاری $450, 500, 550, 600, 700$ و 850 نانومتر در ساختار $[Si/SiO_2]^3/TiO_2/[Si/SiO_2]^3/Si_3N_4$ مقدار عبور محاسبه و در شکل ۹ نمایش داده شده است. برای بقیه



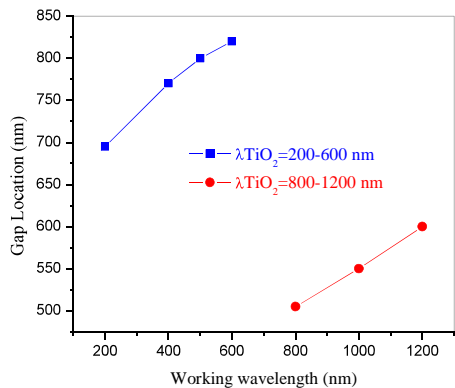
شکل ۹: طیف های عبوری ساختار $[Si/SiO_2]^3/TiO_2/[Si/SiO_2]^3/Si_3N_4$ و $[SiO_2/Si]^3/TiO_2/[SiO_2/Si]^3/Si_3N_4$

از آنجا که در برخی کاربردها نیاز است تا بتوان شکاف عبوری را به سمت طول موج های بیشتر یا کمتر جابجا کرد در این مرحله به آن پرداخته شده است. نتایج محاسبات اولیه نشان داد که می توان با تغییر طول موج کاری مکان قله را تغییر داد. این کار زمانی مفید خواهد بود که هدف طراحی فیلتر نوری باشد که در یک طول موج مشخص شکافی برای عبور داشته باشد. شکل ۷ طیف را برای $[Si/SiO_2]^3/TiO_2/[Si/SiO_2]^3/Si_3N_4$ متفاوت کاری $450, 500$ و 600 نانومتر نشان می دهد. با تغییر طول موج کاری ضخامت تمام لایه ها با توجه به رابطه $L = \lambda_w / (4n)$ تغییر می کنند. همانگونه که در شکل ۷ مشاهده می شود محل شکاف عبوری دقیقا در طول موج کاری منتخب قرار می گیرد و بیشینه عبوری تا حدی افزایش می یابد ولی محدوده طول موجی شکاف عبوری تغییر نمی کند.

تا 800 نانومتر که مکان شکاف عبوری در این حالت بین 795 تا 820 نانومتر واقع می‌شود و دیگری برای طول موج کاری بین 800 تا 1200 نانومتر که مکان شکاف عبوری در این حالت بین 505 تا 600 نانومتر قرار می‌گیرد، در نتیجه دو خط کالیبراسیون وجود دارد و ارتباط بین طول موج کاری و مکان شکاف در نمودار شکل ۱۱ و ۱۲ ترسیم شده است.



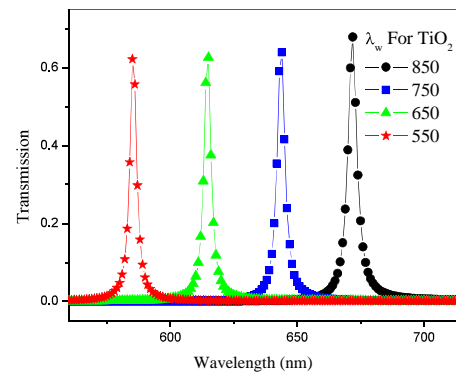
شکل ۱۱: طیف عبور بلور نوری $[Si/SiO_2]^3/TiO_2/[SiO_2/Si]^3/Si_3N_4$ در ضخامت‌های مختلف.



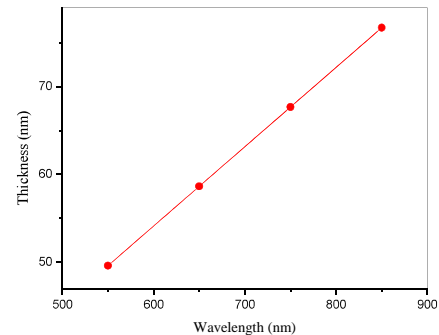
شکل ۱۲: رابطه بین طول موج کاری منتخب و مکان شکاف برای بلور نوری $[Si/SiO_2]^3/TiO_2/[SiO_2/Si]^3/Si_3N_4$ برای طول موج 200 تا 600 و 800 تا 1200 نانومتر

در قسمت بالای شکل ۱۲ مشاهده می‌شود رابطه بین طول موج کاری منتخب و مکان شکاف از $y = y_0 + Ae^{-x/t}$ با $y_0 = 913/86$, $A = 335/66$, $t = 468/27$ است. می‌آید، که در آن

لایه‌ها طول موج کاری 600 نانومتر به نمایش درآمد. علت انتخاب طول موج 600 نانومتر این است که در این طول موج هر دو شکاف عبوری وجود دارند و امکان مشاهده جابجایی بیشینه عبوری متناسب با تغییر ضخامت به صورت واضح تر ممکن است. حال شکاف ایجاد شده دیگر در همان طول موج کاری منتخب برای لایه نقص نیست و طبق شکل ۱۰ از رابطه $Y = A + BX$ تعیین می‌کند که در آن $A = -0.01$ و $B = 0.09$ است.



شکل ۱۳: طیف عبور نوری $[Si/SiO_2]^3/TiO_2/[Si/SiO_2]^3/Si_3N_4$



شکل ۱۰: رابطه بین ضخامت لایه نقص و مکان شکاف دوم برای بلور نوری $[Si/SiO_2]^3/TiO_2/[Si/SiO_2]^3/Si_3N_4$

با توجه به شکل ۱۱ مشاهده می‌شود که اگر طول موج کاری منتخب برای تمام لایه‌ها بجز لایه نقص 600 نانومتر و طول موج تعیین کننده ضخامت لایه نقص متغیر در نظر گرفته شود، در این حالت محل قرار گرفتن شکاف عبوری را به دو ناحیه می‌توان تقسیم کرد، یکی برای طول موج کاری بین 200

- [1] K. Tsuruda, M. Fujita, T. Nagatsuma, "Extremely low-loss terahertz waveguide based on silicon photonic-crystal slab", *Optical Society of America*, **23**, 77-90 (2015)
- [2] A. Bruyant G. Lerondel P. J. Reece and M. Gal, "All-silicon omnidirectional mirrors based on one-dimensional photonic crystals", *Appl. Phys. Lett.* **82**, 3227 (2003).
- [3] S. Arafa , M. Bouchemat , T. Bouchemat , A. Benmerkhi, "Design of Optical Filter Based on Photonic Crystal Squared Silicon Nitride Microcavity", *Nanoscience and Nanotechnology*, **6**, 97-104 (2016).
- [4] T. Pan, C. Tang, L. Gao, Z. Li, "Optical bistability of nonlinear multilayered structure containing left-handed materials", *Phys. Lett. A* **337**, 473-479 (2005)
- [5] J. D. Joannopoulos, R. D. Meade, J. N. Winn, "Photonic crystals: Molding the Flow of Light", *Princeton University Press* (1995).
- [6] J. D. Jackson, "classical electrodynamics", John Wiley & Sons, New York (1962).
- [7] N. H. Liu, S. Y. Zhu, H. Chen, X. Wu, "Superluminal pulse propagation through one-dimensional photonic crystals with a dispersive defect", *Phys. Rev. E*, **65**, 07-14 (2002).
- [8] <http://refractiveindex.info>
- [9] <http://www.filmetrics.com>

در قسمت پایین شکل ۱۳ شکاف از $Y = A + BX$ تبعیت می‌کند که در آن $B = ۰/۲۴$ و $A = ۳۱۴/۱۷$ است، با استفاده از این معادلات می‌توان در هر طول موج دلخواه شکاف را قرار داد. به عنوان مثال اگر سازندگان بخواهند شکافی در ۵۲۵ نانومتر داشته باشند با توجه به شکل ۱۱ باید از تابع شکل ۱۲ که متعلق به رنگ سبز است استفاده کنند که در این صورت طول موج کاری مناسب برای ساخت ضخامت لایه نقص باید ۸۷۹ نانومتر انتخاب شود. با انتخاب این ساختار امکان ایجاد شکاف در تمام ناحیه مرئی وجود خواهد داشت، البته این امکان برای ساختاری که در آن چیدمان لایه‌ها در دو طرف لایه نقص یکسان باشد نیز وجود دارد اما در ساختار شکل ۱۱ مکان شکاف‌ها و نحوه جابجایی آن‌ها واضح‌تر است.

نتیجه‌گیری

نتایج نشان داد با ایجاد نقص و برهمن زدن تناوب موجود در بلور مسیر جدیدی برای عبور موج در نوار ممنوعه ایجاد می‌شود. با جابجایی لایه‌های ساختار $[Si/SiO_2]^6/Si_3N_4$ در هنگام اضافه کردن لایه نقص ارتفاع بیشینه عبوری کاهش می‌یابد. با کاهش طول موج کاری از مقدار اولیه ۵۰۰ نانومتر مکان و ارتفاع بیشینه عبوری تغییر می‌کند، در صورتی که ضخامت تمام لایه‌ها به صورت ربع موج در نظر گرفته شود مکان بیشینه با طول موج کاری رابطه مستقیم خواهد داشت. اما رابطه مستقیمی بین طول موج کاری و ارتفاع بیشینه وجود ندارد. با افزایش طول موج کاری علاوه بر تغییر در مکان و ارتفاع بیشینه عبوری یک گستره عبوری جدید برای عبور موج ایجاد می‌شود. با تغییر ضخامت لایه نقص بیشینه عبوری جابجا می‌شود و علاوه بر کاهش هزینه‌ها مکان شکاف را می‌توان مهندسی کرد. ساختاری که در آن چیدمان لایه‌ها در دو طرف لایه نقص یکسان نباشد شکاف در تمام ناحیه مرئی وجود دارد و می‌توان مکان شکاف را مدیریت کرد.

منابع